

## 討23 0.9% NaCl 溶液中におけるステインレス鋼の腐食疲労

東京工大 精密工学研究所 布村成員, 同 肥後矢吉  
三和鉄軌 飯山文也, 菅原医大 整形外科 中島育昌

### 1. 緒言

金属材料が外科修復に用いられてきた歴史は長く、多くの材料が試みられてきたが、これらは順次淘汰され、現在用いられているものは AISI 316, 317ステインレス鋼、チタン、チタン合金、および vitallium\*など、極く限られています。これら外科修復に用いられた骨折プレート、同用ねじ、大腿骨頭固定具などの金属部分は極めて低頻度ながら破損事例が認められており、これは低頻度とはいえ、一度起らなければ悲惨な結果ともなりますので、その対策は重要である。この破壊事例に対してフラクトグラフィを中心とした検討を加えた結果、ほとんどすべての場合、原因あるいは経過として疲労現象が関与していることが知られた。体内で金属材料は体液に浸されており、この腐食環境下での疲労強度が外科修復金属材料の機械的性質として必要である。

本報は体液相当の 0.9% NaCl 溶液中での 316L 鋼

および比較材 430 フェライト系ステインレス鋼、  
410 マルテンサイト系ステインレス鋼の疲労試験結果である。併せて付加電位の効果、セラミック被覆材およびその被覆が破損した場合の腐食疲労強度についても検討を加えた。

### 2. 供試材および実験方法

(供試材) SUS 316L 鋼 (0.026C, 10.8Ni, 12.4Cr, 2.44Mo) SUS 430 鋼 (0.12C, 12.7Cr),  
SUS 410 鋼 (0.15C, 12.8Cr) α 6mm厚板材より  
圧延方向に長さ方向が一致するよう図 1 の 4 点曲げ試験片を切り出した。所定の熱処理の後、長さ方向に垂直に板厚方向に深さ 1mm, 先端半径

0.25mm の切欠を付した。この試片の曲げ形状係数は 2.5 である。この供試材の機械的性質(平滑材)および熱処理を表 1 に示す。

(疲労試験) 腐食疲労試験は電気油圧式疲労試験機に取りつけられた NaCl 溶液槽中で 4 点曲げ、正弦波、40Hz で行なった。溶液の温度は 37°C、および 60°C ± 0.5°C で、air bubbling によって液の搅拌を行なうと共に溶存酸素を飽和状態に置いた。

(分極曲線) 温度による加速効果の判定、TGA および腐食状態を検討するため、分極曲線の測定を行なった。参照電極には塩化銀電極 (Ag<sub>2</sub>O)

\* 30Cr-5Mo-6Si 合金。数年前より疲労的立場よりその使用は忌避される傾向にある。

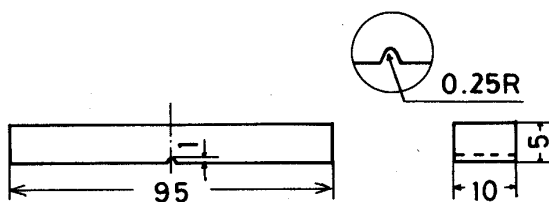


図 1. 腐食疲労 4 点曲げ試験片

Material	$\sigma_{ys}$ (Mpa)	$\sigma_{uts}$ (Mpa)	$\delta$ (%)	Heat treatment
SUS 316L	271	635	67.5	annealed
SUS 430	275	437	38.1	as received
SUS 410	353	539	30.0	970°C O.Q. 750°C temper

表 1. 供試ステインレス鋼の機械的性質と熱処理

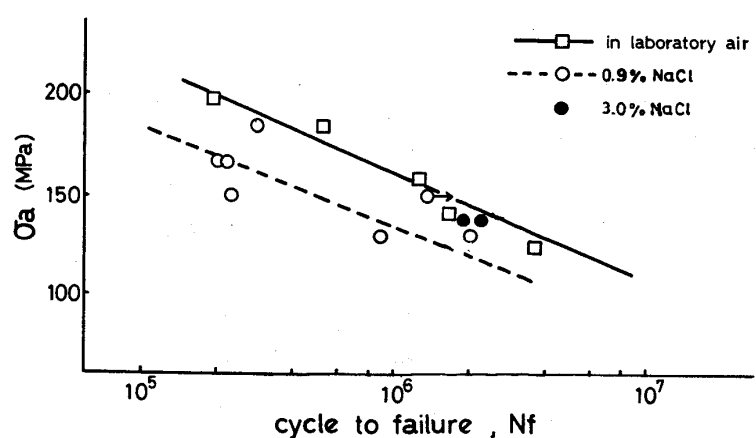


図 2. 316L 鋼の生理食塩水 (0.9% NaCl 溶液) 中における腐食疲労 ( $R = 0.2, 60^\circ\text{C}$ )。

$/AgCl$ 、対極板は白金板を用いた(測定温度  $37^{\circ}C$  および  $60^{\circ}C$ 、濃度  $0.9\%$  および  $3\%$ )。

(電位付加疲労試験)機能的要件による電位付加を想定し、溶液浸食状態以外に分極曲線を基として、白金板を対極として電流密度  $7mA/cm^2$ ,  $1mA/cm^2$ ,  $0mA/cm^2$  の陰極腐食電位および  $1mA/cm^2$  の陽極溶解電位を加えて  $138MPa$  および  $157MPa$  の両応力で腐食疲労試験を行なった。

(セラミック被覆材) 316L鋼セラミック被覆材について被覆にき裂が発生した場合の疲労強度低下を検討した。これらすべての試片は破断後SEM観察を行ない、その機構および実破断事例との関連について検討した。

### 3. 実験結果と考察

316L鋼の空气中および  $0.9\% NaCl$  溶液中の腐食疲労試験結果を図2に示す。  $NaCl$  溶液中の  $10^6$ 回時強度は約  $15\%$  低下している。この値は海水中での結果として報告されている値より小さい。図2に  $3\%$

$NaCl$  溶液中の測定点を示すがこの値は  $0.9\% NaCl$  よりも減少量は更に小さかった。 $13Cr$ ステンレス鋼の腐食疲労に及ぼす  $NaCl$  濃度の効果が江原らによって検討されており、 $0.9\% - 3\%$  の濃度間では濃度に応じた寿命または強度の減少が期待される。図3に 316L鋼の  $NaCl$  溶液中における分極曲線を示す。二つの分極の複雑な状態が上記の結果をもたらしたものと思われる。外科用修復部材が体内にある期間は骨折ペレートで最低3ヶ月、大腿骨頭固定具では20年間以上になる。これを実験室的に再現することは困難であるが、繰返し速度の増加割合 ( $0.5Hz \rightarrow 40Hz$ ) に近い腐食速度の加速を期待し高温試験を行なった。活性化支配を期待し、かつ機械的性質の差異のない  $70^{\circ}C$  を予定したが、設備上の制約のため試験温度は  $60^{\circ}C$  とした。分極曲線より推定される腐食速度の増加は小さく拡散支配であることが知られる(図3)。疲労はき裂開始とき裂伝播の2段階に分けて理解される。図2の  $N_f$  はこの両段階の和であるが、実質的にはき裂開始がその大部分を占めており、すべて疲労試験を通じて、き裂が肉眼で確認されてから、破断までの寿命は  $10^5$  回以下であった。切欠枝の疲れき裂は切欠底部に集中して起こるすべりにより、新しい金属面が露出し、これが腐食

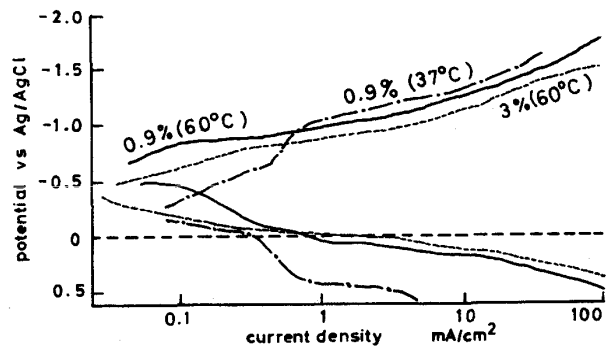


図3. ステンレス鋼の  $NaCl$  溶液中の分極曲線

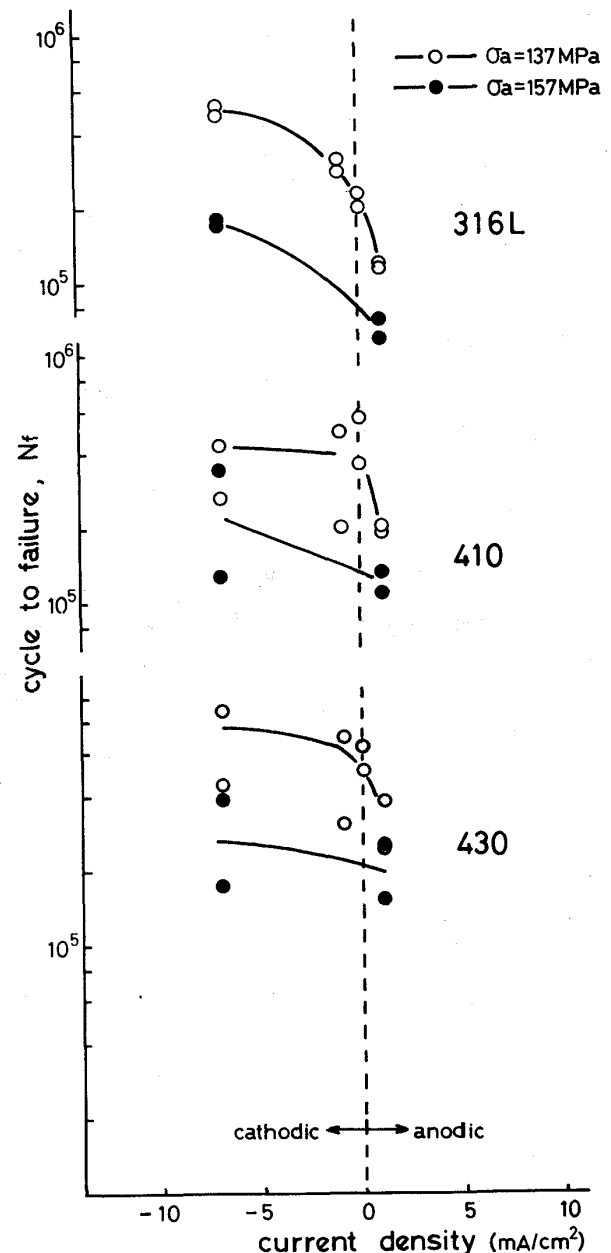


図4. SUS316L, SUS410, SUS430  
ステンレス鋼の電位付加疲労試験結果

の活性点となるため、その可逆的消滅を妨げ、*intrusion*, *extrusion* の発生を容易にし疲れき裂へと導く。または孔食により応力集中を生じき裂へと進む。大気中で試験されたもの（以下破面写真はすべて 138 MPa）の切欠先端にすべりの集中のため粗になっており、*extrusion* らしきものが観察される（写真 1a），NaCl 溶液中ではむしろ滑らかで、*extrusion* らしきものは観察されない（写真 1b）。410 鋼では表面はかなり粗く、き裂に発達しそうな割れが多く観察され（写真 1c），430 鋼ではピットからき裂は進行している（写真 1d）。1mA/cm<sup>2</sup> のアノード条件ではすべてこのピットが認められき裂はここから開始している（写真 1e）。水素発生のあるカソード条件（-7mA/cm<sup>2</sup> 写真 1f）は 1·b に比べて粗面を呈するが、破断寿命およびき裂開始寿命は大気中試験材に近い。電位付加腐食疲労試験結果を図 4 に示す。410 鋼，430 鋼の分極曲線は 316L 鋼とほぼ等しいので、同一電流密度条件で破断寿命を比較した。アノード条件では寿命は最も短く、その中で 316L 鋼が最短であった。いずれの試片においてもピットがき裂の開始点となっている。このピットの程度は 410, 316L, 430 の順序であるが、き裂開始がすべりを含むため、降伏応力を高い 410 は 316L より長寿命である。水溶液中に浸したのみの場合も、切欠部以外を被覆し、電位を付加して電流を零と保った場合も寿命上の変化は認められなかった。零電流ではもはや切欠近傍のピットは認められず *intrusion-extrusion* 機構によりき裂は開始する。陰極電位付加により更に寿命はのびる。その効果の大きさから、これはき裂開始寿命によるものである。-7mA/cm<sup>2</sup> まででは寿命の低下ではなく、水素による割れの促進はない。410 鋼，430 鋼においてもカソード条件で防食の効果がみられ、寿命は伸びているが、零電流位でその効果はほぼ飽和し、316L にみられるその後の向上はみられない。切欠より離れた部分の破面は疲労き裂伝播に因与している。写真 2 は切欠下 1.5 mm の部分の破面で寿命の大きな差にかかわらず特徴的差異は認められない。<sup>(4)</sup> 破面はまた伝播後腐食が進行しているとも

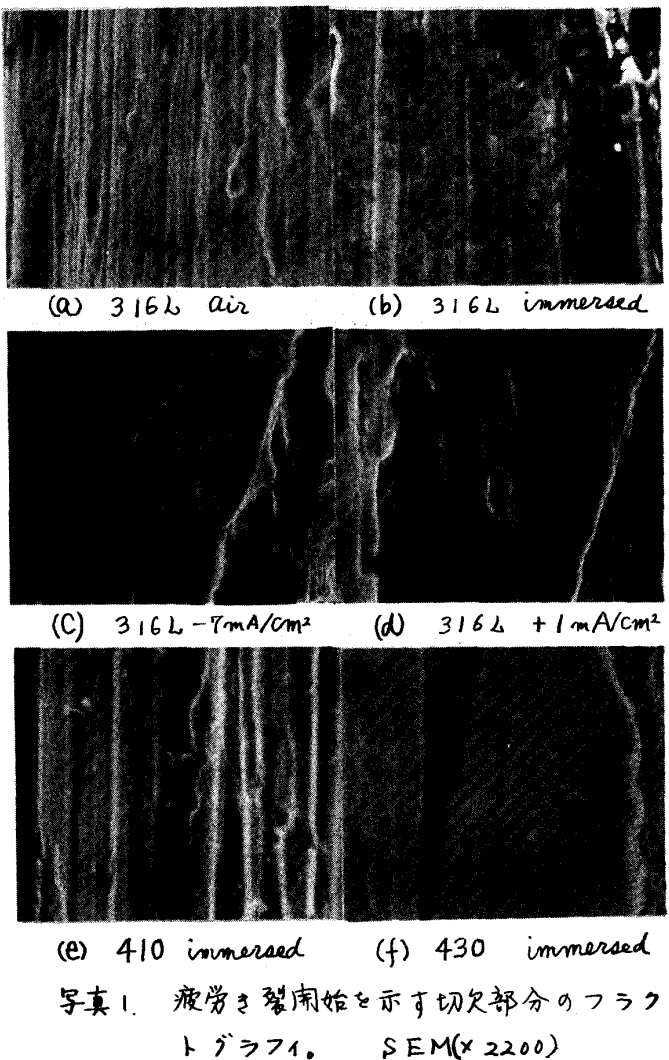


写真 1. 疲労き裂開始を示す切欠部分のフラクトグラフィ。SEM( $\times 2200$ )

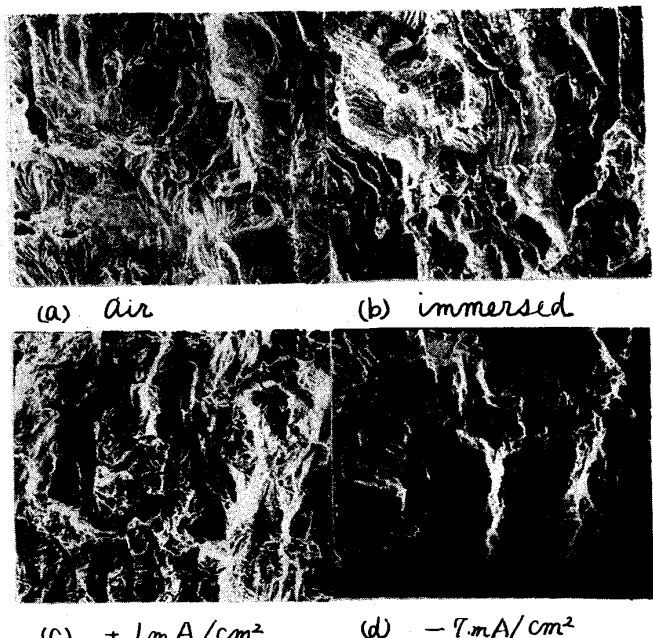


写真 2. き裂伝播特性を示す中央部の破面は明瞭な差異は認められない（316L,  $\times 150$ ）

考えられ、その特徴を分離しなければならない。アノード条件では溶解がおこり切欠直後(写真3-c)と切欠先方1mm(写真3-d)では異なる。先端直後では介在物を底部に残した溶解がみられる。写真2の各部分には拡大により striation が(写真3-e,f), アノード条件下でも確認されている。外科用修復金属材料の場合、使用中に検査、保守を行なうことができるないので、疲労き裂伝播速度の面から材料を検討する意義は少ない。発生寿命が大部分であることより、切欠材による寿命試験が適当である。しかし破面上の根跡はそれが疲労によるか否かの判定に必要で、316L鋼の場合 striation がその判断点となる。410鋼の場合、0.9% NaCl中の腐食疲労破面も粒界破断で(写真3-b)判断が困難である。

著者らは人工関節など終身体内に留める修復部材にセラミック被覆を施し、生物体との親和を計り、固定性の向上を試みている。この被覆は耐食性を期待するものではなく、構造的に被覆部分の割れの可能性を有する。割れが生じたとしても、濃淡電池の構成、および回路抵抗からこの部分での腐食が促進されるとは考えられない。しかし割れによる応力集中、その他の腐食促進のおそれは皆無ではない。その信頼性確認のため生理食塩水で腐食疲労試験を行なった。316L裸材とセラミック被覆後切欠先端に割れを入れたものの間に差異はなく(図5)、むしろ後者が高い値を示した。これはセラミック被覆が完全な場合がより高い腐食疲労抵抗を有するためと思われる。

#### 4. 結 論

外科修復用金属材料316Lステインレス鋼の腐食疲労試験を行なった。腐食疲労強度のみでは低級な410鋼、430鋼よりも低く、静的腐食を考慮して再検討の要がある。特にアノード条件に置かれる時、316L鋼は他の2者に劣る。修復用材料としては疲労き裂伝播はあまり重要な位置を占めず、切欠材の寿命試験で充分である。セラミック被覆した316L鋼の腐食疲労試験を行ない、セラミックに割れが生じた場合も芯材の強度の低下はまったく認められなかつた。

(参考文献) 1) R.Ebara, T.Kai & I.Inoue: ASTM STP642. 2) K.R.Wheeler & L.A.Jaques: J.Biomed.Mat., 5(1971)267

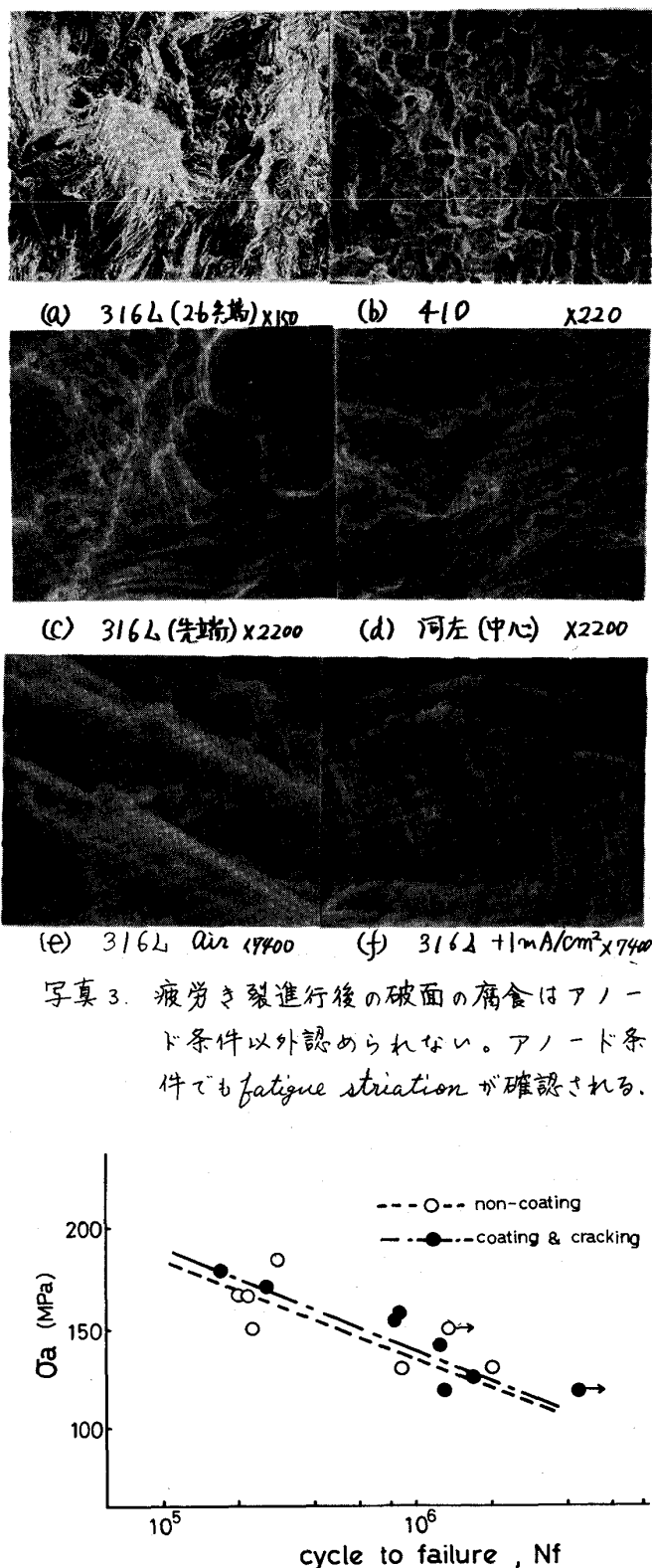


写真3. 疲労き裂進行後の破面の腐食はアノード条件以外認められない。アノード条件でも fatigue striation が確認される。

図5. 被覆に損傷あるセラミック被覆316Lステインレス鋼の腐食疲労のS-N線図.  
 $R = 0.2$ , 0.9% NaCl, 60°C